

Document title

1st Given Name Surname
dept. name of organization (of Aff.)
name of organization (of Aff.)
City, Country
email address

2nd Given Name Surname
dept. name of organization (of Aff.)
name of organization (of Aff.)
City, Country
email address

3rd Given Name Surname
dept. name of organization (of Aff.)
name of organization (of Aff.)
City, Country
email address

Abstract—El documento presenta un análisis de un rectificador semicontrolado trifásico con carga resistiva. Mediante el método de estados asumidos, se determinan las combinaciones válidas de operación, los rangos de polarización de los SCR y sus ángulos de conducción. Además, se analiza el contenido armónico del voltaje de salida mediante series de Fourier, caracterizando la dependencia de su componente DC y distorsión armónica con el ángulo de disparo. Los resultados obtenidos se comprueban mediante simulaciones en PSIM, confirmando la precisión del modelo teórico.

I. INTRODUCCIÓN

Los rectificadores semicontrolados trifásicos representan una configuración clave en aplicaciones de conversión de potencia AC/DC. Este trabajo aborda su análisis desde una perspectiva de estados de conducción y calidad espectral de la salida. El método de estados asumidos proporciona un marco riguroso para predecir el comportamiento de conmutación, mientras que el análisis de Fourier cuantifica el rendimiento en términos de valor medio y distorsión. Mediante las simulaciones en PSIM se verifica la validez del modelo analítico propuesto. La Fig. 1 muestra el circuito bajo análisis.

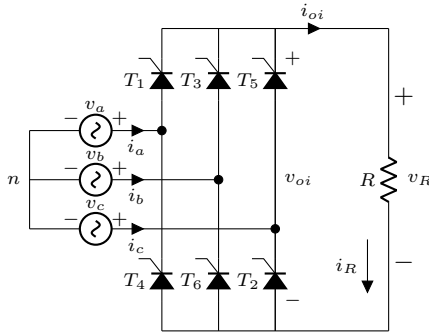


Fig. 1: Rectificador semicontrolado trifásico

Lo voltajes de línea a neutro se definen como:

$$\begin{aligned} v_a(t) &= V_{max} \sin(\omega t) \\ v_b(t) &= V_{max} \sin(\omega t - 120^\circ) \\ v_c(t) &= V_{max} \sin(\omega t + 120^\circ) \end{aligned}$$

II. ESTADOS ASUMIDOS

En un instante dado las tres tensiones de fase v_a, v_b, v_c se ordenan por su valor instantáneo; con SCR ideales y sin solape, siempre conducen dos dispositivos: el superior de la fase con

mayor potencial y el inferior de la fase con menor potencial, de modo que el voltaje de salida es siempre un línea-a-línea $v_{oi}(t) = v_{\max}(t) - v_{\min}(t)$. Se considera además el estado sin conducción S_0 cuando aún no se ha aplicado el pulso de compuerta (ángulo α) o la red no supera el umbral de disparo. Así, los siete estados son:

- S_0 : ningún SCR conduce, $v_{oi} = 0$.
- S_1 si $v_a \geq v_b \geq v_c$, T_1 y T_6 (ON), $v_{oi} = v_a - v_b \equiv v_{ab}$.
- S_2 si $v_a \geq v_c \geq v_b$, T_1 y T_2 (ON), $v_{oi} = v_a - v_c \equiv v_{ac}$.
- S_3 si $v_b \geq v_a \geq v_c$, T_3 y T_4 (ON), $v_{oi} = v_b - v_a \equiv v_{ba}$.
- S_4 si $v_b \geq v_c \geq v_a$, T_3 y T_2 (ON), $v_{oi} = v_b - v_c \equiv v_{bc}$.
- S_5 si $v_c \geq v_a \geq v_b$, T_5 y T_4 (ON), $v_{oi} = v_c - v_a \equiv v_{ca}$.
- S_6 si $v_c \geq v_b \geq v_a$, T_5 y T_6 (ON), $v_{oi} = v_c - v_b \equiv v_{cb}$.

Las transiciones entre estados ocurren cuando dos tensiones de fase se igualan (cruces $v_a = v_b$, $v_b = v_c$ o $v_c = v_a$), lo que en el caso senoidal balanceado sucede cada 60° eléctricos; el inicio efectivo de cada estado conductor queda retrasado por el ángulo de disparo α . Dado que la carga es estrictamente resistiva, no hay almacenamiento de energía ni memoria de estado: la corriente sigue instantáneamente a la tensión en cada tramo y vale simplemente

$$i(t) = \frac{v_{oi}(t)}{R},$$

anulándose exactamente en los instantes de cambio de par, por lo que el apagado de los SCR es natural en cada frontera de 60° .

Estado	Intervalo (grados)
S_1	$[30^\circ + \alpha, 90^\circ + \alpha]$
S_2	$[90^\circ + \alpha, 150^\circ + \alpha]$
S_3	$[150^\circ + \alpha, 210^\circ + \alpha]$
S_4	$[210^\circ + \alpha, 270^\circ + \alpha]$
S_5	$[270^\circ + \alpha, 330^\circ + \alpha]$
S_6	$[330^\circ + \alpha, 390^\circ + \alpha]$

Tabla I: Intervalos de los estados asumidos.

En cada intervalo de 60° la secuencia de fases (desfasadas 120°) produce una fase con mayor potencial y otra con menor potencial; el par de tiristores del sector conecta dicha fase máxima con la mínima, por lo que v_{oi} en ese tramo es la diferencia línea-a-línea entre ellas. El ángulo de disparo α no altera el orden relativo de las fases: simplemente *desplaza* el inicio de cada sector (p. ej. S_1 comienza en $30^\circ + \alpha$, S_2 en

$90^\circ + \alpha$, etc.). En un modelo ideal por tramos cada sector dura 60° .

El voltaje promedio (V_{cd}) en R se obtiene según la siguiente ecuación, donde V_m es el voltaje máximo.

$$V_{cd} = \frac{3\sqrt{3} V_m}{\pi} \cos \alpha$$

Mientras el voltaje *rms* (V_{rms}) se obtiene como:

$$V_{rms} = \sqrt{3} V_m \sqrt{\frac{1}{2} + \frac{3\sqrt{3}}{4\pi} \cos 2\alpha}$$

III. SIMULACIÓN EN PSIM

La Fig.2 muestra el comportamiento del voltaje en la resistencia v_R para $\alpha = 0^\circ$ mientras la Fig. 3 es para $\alpha = 30^\circ$

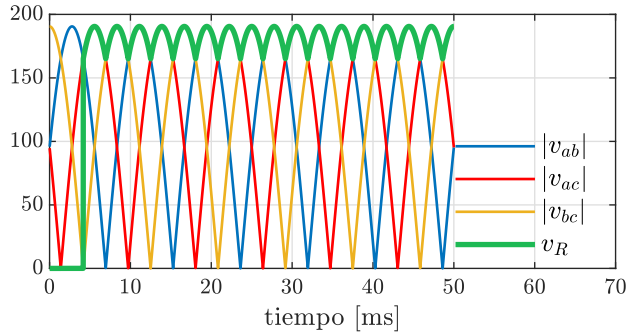


Fig. 2: Voltaje de salida del rectificador trifásico

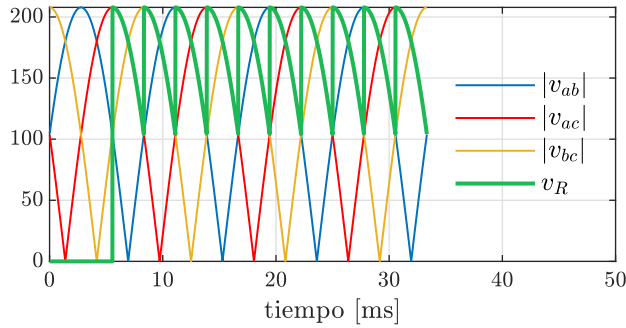


Fig. 3: Voltaje de salida del rectificador trifásico con $\alpha = 30^\circ$

Para obtener este resultado se ajusto el ángulo de disparo de cada tiristor según la Tabla II

Estado	Intervalo (grados)
T_1	$[30^\circ + \alpha - 150^\circ + \alpha)$
T_2	$[90^\circ + \alpha - 210^\circ + \alpha)$
T_3	$[150^\circ + \alpha - 270^\circ + \alpha)$
T_4	$[210^\circ + \alpha - 330^\circ + \alpha)$
T_5	$[270^\circ + \alpha - 390^\circ + \alpha)$
T_6	$[330^\circ + \alpha - 450^\circ + \alpha)$

Tabla II: Ángulos de disparo para cada tiristor

IV. ANALIS DE FOURIER DE LA SEÑAL DE SALIDA v_{oi}

El voltaje de salida $v_o(\omega t)$ puede expresarse mediante su serie de Fourier:

$$v_o(\omega t) = a_0 + \sum_{n=1}^{\infty} [a_n \cos(n\omega t) + b_n \sin(n\omega t)]$$

los coeficientes son:

$$a_0 = V_{cd}$$

$$a_n = \frac{6}{\pi} \sqrt{3} V_m \int_{\frac{\pi}{6} + \alpha}^{\frac{\pi}{2} + \alpha} \sin\left(\omega t + \frac{\pi}{6}\right) \cos(n\omega t) d(\omega t)$$

$$b_n = \frac{6}{\pi} \sqrt{3} V_m \int_{\frac{\pi}{6} + \alpha}^{\frac{\pi}{2} + \alpha} \sin\left(\omega t + \frac{\pi}{6}\right) \sin(n\omega t) d(\omega t)$$

Los coeficientes a_n y b_n representan los armónicos de la señal de salida. Los armónicos dominantes en el voltaje de salida son múltiplos de 6 ($n = 6, 12, 18, \dots$) debido a la simetría de la señal, ya que la conmutación de los SCR ocurre cada 60° ($\pi/3$ radianes). La señal se repite cada $\pi/3$ radianes, por lo que la frecuencia fundamental es $6f$. Al aumentar α , los armónicos aumentan debido que los coeficientes a_n y b_n presentan una relación sinusoidal proporcional a α , en 0° los armónicos son mínimos, en 90° se presenta el mayor contenido armónico y en $> 90^\circ$ el contenido armónico disminuye.

V. CONCLUSIONES

El método de estados asumidos es una herramienta eficaz para identificar las configuraciones válidas en el circuito, definiendo los límites de polarización directa o inversa y los rangos de ángulo de disparo para los SCR.

El análisis de series de Fourier estableció una relación directa y cuantificable entre α y el espectro de salida: el valor DC decrece inversamente con α , mientras que el *THD* se modifica sustancialmente.

Las simulaciones en PSIM corroboran los resultados obtenidos analíticamente.

REFERENCES

- [1] G. Eason, B. Noble, and I. N. Sneddon, "On certain integrals of Lipschitz-Hankel type involving products of Bessel functions," Phil. Trans. Roy. Soc. London, vol. A247, pp. 529–551, April 1955.
- [2] J. Clerk Maxwell, A Treatise on Electricity and Magnetism, 3rd ed., vol. 2. Oxford: Clarendon, 1892, pp.68–73.
- [3] I. S. Jacobs and C. P. Bean, "Fine particles, thin films and exchange anisotropy," in Magnetism, vol. III, G. T. Rado and H. Suhl, Eds. New York: Academic, 1963, pp. 271–350.
- [4] K. Elissa, "Title of paper if known," unpublished.
- [5] R. Nicole, "Title of paper with only first word capitalized," J. Name Stand. Abbrev., in press.
- [6] Y. Yoroze, M. Hirano, K. Oka, and Y. Tagawa, "Electron spectroscopy studies on magneto-optical media and plastic substrate interface," IEEE Transl. J. Magn. Japan, vol. 2, pp. 740–741, August 1987 [Digests 9th Annual Conf. Magnetics Japan, p. 301, 1982].
- [7] M. Young, The Technical Writer's Handbook. Mill Valley, CA: University Science, 1989.